

Теоретическое исследование физики возможного взаимодействия скрытой массы на основе данных по космическим лучам и крупномасштабной структуре Вселенной

Выполнил: Камалетдинов Айрат
Научный руководитель: Белоцкий К.М.

Национальный Исследовательский Ядерный Университет МИФИ

2 июля 2020 г.

Часть 1

Поиск подавления выхода
фотонов от распадов частиц
скрытой массы

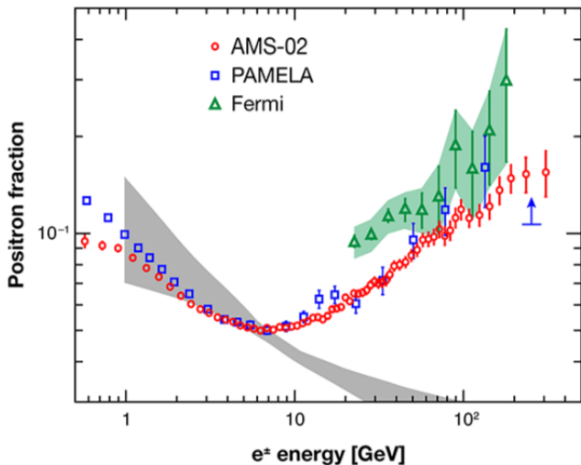
Позитронная аномалия



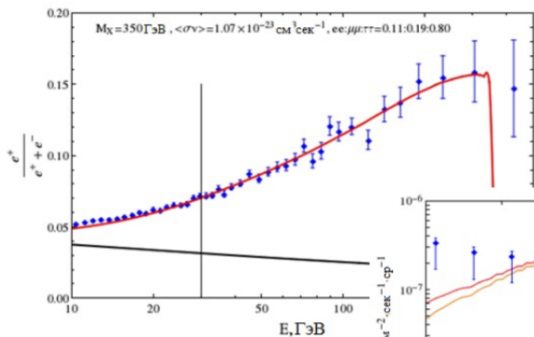
Pamela
Спутник: Ресурс ДК1
Since: 15 June 2006



AMS-02
Установлен на МКС
Since: 16 May 2011



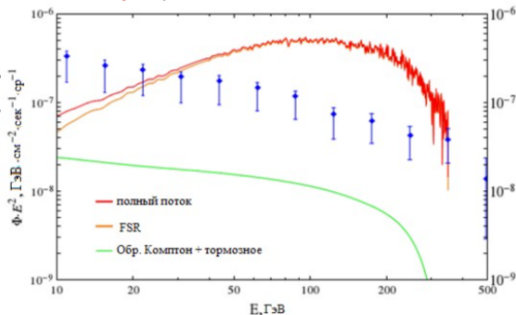
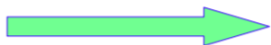
Противоречия с данными по IRGB



Satisfactory description of the positron fraction



Strong contradiction (excess) in IGRB

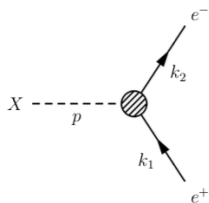


Идея параметризации вершины взаимодействия

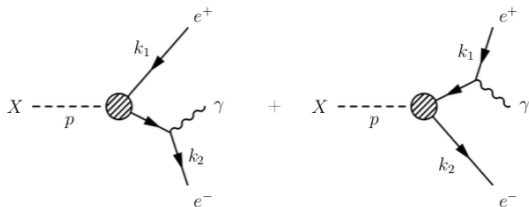
Мы начали с рассмотрения простейших вершин распада вида:

$$\mathcal{L} = X\bar{\Psi}(a + b\gamma^5)\Psi \quad \text{и} \quad \mathcal{L} = X_\mu\bar{\Psi}\gamma^\mu(a + b\gamma^5)\Psi$$

Двухчастичный



Трехчастичный



Подавление выхода фотона достигается при

$$\frac{\sigma(X \rightarrow e^- e^+ \gamma)}{\sigma(X \rightarrow e^- e^+)} \rightarrow \min \quad \text{где } a \text{ и } b \text{ фиксированы}$$

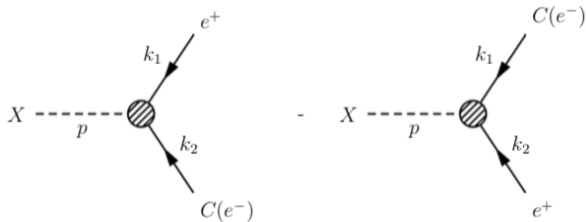
Распад на тождественные позитроны

Так же была рассмотрена модель дважды заряженной скрытой массы

$$\mathcal{L}_C = X\bar{\psi}^C(a + b\gamma^5)\psi + X^*\bar{\psi}(a + b\gamma^5)\psi^C.$$

$$X \rightarrow e^+e^+ \quad X^* \rightarrow e^-e^-$$

Предполагается отсутствие частиц X^* в секторе темной материи.



Подобные модели тяжелой дважды заряженной скрытой массы предлагаются например в [arXiv:1411.365](https://arxiv.org/abs/1411.365) и [arXiv:astro-ph/0511789](https://arxiv.org/abs/astro-ph/0511789)

Независимость выхода фотонов от параметризации

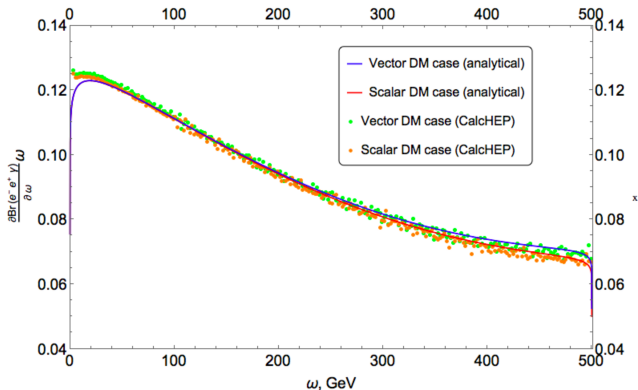
Для $X \rightarrow e^- e^+(\gamma)$

| | $\mathcal{L} = X \bar{\Psi}(a + b\gamma^5)\Psi$ | $\mathcal{L} = X_\mu \bar{\Psi}\gamma^\mu(a + b\gamma^5)\Psi$ |
|--|---|---|
| $ M _{2\ body}^2$ | $2(a^2 + b^2)m_X^2$ | $4(a^2 + b^2)m_X^2$ |
| $ M _{(3\ body)}^2$ | $(a^2 + b^2)F(k_1, k_2, l)$ | $(a^2 + b^2)G(k_1, k_2, l)$ |
| $\frac{\sigma(e^- e^+ \gamma)}{\sigma(e^- e^+)}$ | $\frac{F(k_1, k_2, l)}{2 m_X^2}$ | $\frac{G(k_1, k_2, l)}{4 m_X^2}$ |

Для $X \rightarrow e^+ e^+(\gamma)$ $\mathcal{L} = X \bar{\Psi}^C \hat{O} \Psi + X^* \bar{\Psi} \hat{O} \Psi^C$ $|in\rangle \equiv \hat{X}|0\rangle$

| | $\mathcal{L} = X \bar{\Psi}^C(a + b\gamma^5)\Psi$ | $\mathcal{L} = X_\mu \bar{\Psi}^C\gamma^\mu(a + b\gamma^5)\Psi$ |
|--|---|---|
| $ M _{(2\ body)}^2$ | $8(a^2 + b^2)m_X^2$ | $16 b^2 m_X^2$ |
| $ M _{(3\ body)}^2$ | $(a^2 + b^2)F(k_1, k_2, l)$ | $b^2 G(k_1, k_2, l)$ |
| $\frac{\sigma(e^+ e^+ \gamma)}{\sigma(e^+ e^+)}$ | $\frac{F(k_1, k_2, l)}{8 m_X^2}$ | $\frac{G(k_1, k_2, l)}{16 m_X^2}$ |

Наличие подавления скалярной связи $\mathcal{L} = X\bar{\Psi}(a + b\gamma^5)\Psi$ в сравнении с векторной $\mathcal{L} = X_\mu\bar{\Psi}\gamma^\mu(a + b\gamma^5)\Psi$



$$\left. \frac{\partial \sigma(e^- e^+ \gamma) / \partial \omega}{\sigma(e^- e^+)} \right|_{\text{scalar}} = -e^2 \frac{(m^2 - 2m\omega + 2\omega^2) \log\left(\left| \frac{m - 2E_1}{m - 2(E_1 + \omega)} \right| \right)}{4\pi^2 m^2 \omega} \Bigg|_{E_1^-}^{E_1^+}$$

$$\left. \frac{\partial \sigma(e^- e^+ \gamma) / \partial \omega}{\sigma(e^- e^+)} \right|_{\text{vector}} = -e^2 \frac{(m^2 - 2m\omega + 2\omega^2) \log\left(\left| \frac{m - 2E_1}{m - 2(E_1 + \omega)} \right| \right) - 4E_1 \omega}{4\pi^2 m^2 \omega} \Bigg|_{E_1^-}^{E_1^+}$$

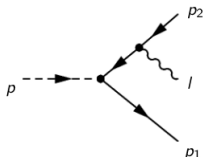
Вершина с производной

Был рассмотрен класс вершин взаимодействия, имеющих зависимость от импульса распадающейся частицы:

$$\mathcal{L} = \bar{\Psi}\gamma^\mu \left(a + b \frac{\gamma^\nu \partial_\nu}{m} \right) X_\mu \Psi \quad \mathcal{L} = \bar{\Psi}\gamma^\mu \left(a + b \frac{(\gamma^\nu \partial_\nu)(\gamma^\rho \partial_\rho) \dots}{m^n} \right) X_\mu \Psi$$

$$\mathcal{L} = \bar{\Psi}\gamma^\mu \left(a\gamma^5 + b \frac{(\gamma^\nu \partial_\nu)}{m} \right) X_\mu \Psi \quad \dots$$

Подобная зависимость позволяет добиться различия в зависимости от параметров a и b между $(X \rightarrow e^+ e^-)$ и $(X \rightarrow e^+ e^- \gamma)$, поскольку:



$$(X \rightarrow e^+ e^-) \Rightarrow \bar{u}(p_1)\gamma^\mu \left(a + b \frac{\hat{p}_1 + \hat{p}_2}{m} \right) v(p_2) = \bar{u}(p_1)\gamma^\mu \left(a + b \frac{\hat{p}_1}{m} \right) v(p_2)$$

$$(X \rightarrow e^+ e^- \gamma) \Rightarrow \bar{u}(p_1)\gamma^\mu \left(a + b \frac{\hat{p}_1 + \hat{p}_2 + \hat{l}}{m} \right) \left[\frac{\hat{p}_2 + \hat{l}}{(p_2 + l)^2} \hat{\epsilon}(l) \right] v(p_2)$$

Например для вершины $\mathcal{L} = \bar{\Psi} \gamma^\mu (a + \frac{b(\gamma^\nu \partial_\nu)}{m}) \chi_\mu \Psi$:

$$\frac{\partial Br(e^+ e^- \gamma)}{\partial \omega} = -e^2 \frac{(2a^2 + b^2)m(m^2 - 2m\omega + 2\omega^2) \log(|\frac{m-2E_1}{m-2(E_1+\omega)}|) - 8E_1\omega(a^2m + 2b^2\omega)}{4\pi^2 m^3 \omega (2a^2 + b^2)} \Bigg|_{E_1^-}^{E_1^+}$$

Однако данная вершина не приводит к существенному результату. Кроме того класс таких вершин ограничен и невозможно их существенное усложнение до полиномов $f(\hat{p})$ произвольной степени поскольку:

$$\hat{p}\hat{p} \equiv p^2 = m^2$$

$$\begin{aligned} f(\hat{p}) &= a + b \frac{\hat{p}}{m} + c \frac{\hat{p}\hat{p}}{m^2} + d \frac{\hat{p}\hat{p}\hat{p}}{m^3} + \dots + A\gamma^5 + B\gamma^5 \frac{\hat{p}}{m} + C\gamma^5 \frac{\hat{p}\hat{p}}{m^2} + D\gamma^5 \frac{\hat{p}\hat{p}\hat{p}}{m^3} + \dots = \\ &= a + b \frac{\hat{p}}{m} + c + d \frac{\hat{p}}{m} + \dots + A\gamma^5 + B\gamma^5 \frac{\hat{p}}{m} + C\gamma^5 + D\gamma^5 \frac{\hat{p}}{m} = \\ &= (a + c + \dots) + (b + d + \dots) \frac{\hat{p}}{m} + (A + C + \dots)\gamma^5 + (B + D + \dots)\gamma^5 \frac{\hat{p}}{m} \end{aligned}$$

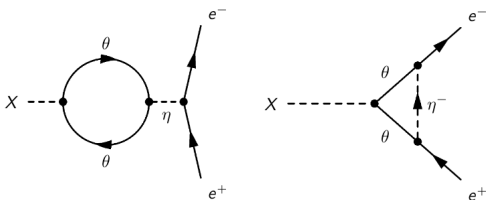
Таким образом $f(\hat{p})$ может быть только линейной функцией от \hat{p}

Рассмотрение петлевых вкладов

Зависимости коэффициентов a и b от энергий распада можно так же достичь рассматривая коэффициенты как петлевые формфакторы.

$$a \rightarrow F_1(\sqrt{s}), \quad b \rightarrow F_2(\sqrt{s})$$

Были рассмотрены следующие процессы



Соответствующие лагранжианы взаимодействия этих моделей:

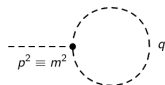
$$\mathcal{L}_O = X\bar{\theta}(a + i b\gamma^5)\theta + \eta\bar{\theta}(c + i d\gamma^5)\theta + \eta\bar{\Psi}\Psi$$

$$\mathcal{L}_\Delta = X\bar{\theta}(a + i b\gamma^5)\theta + \eta\bar{\theta}(c + i d\gamma^5)\Psi + \eta^*\bar{\Psi}(c + i d\gamma^5)\theta$$

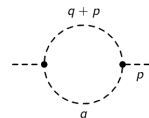
Для расчета использовалась процедура редукции Пассарино и Вельтмана для однопетлевых интегралов, подробно описанная в работе <https://arxiv.org/abs/1105.4319>.

Данная процедура заключается в сведении однопетлевых интегралов к линейной комбинации стандартных скалярных интегралов вида:

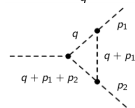
$$A_0(m) = \int \frac{d^D q}{(2\pi)^D} \frac{1}{(q^2 - m^2)}$$



$$B_0(p; m_1, m_2) = \int \frac{d^D q}{(2\pi)^D} \frac{1}{(q^2 - m_1^2)((q+p)^2 - m_2^2)}$$

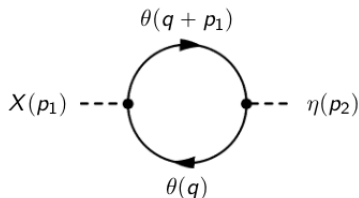


$$C_0(p_1, p_2; m_1, m_2, m_3) = \int \frac{d^D q}{(2\pi)^D} \frac{1}{d_1 d_2 d_3}$$



$d_i \equiv \left((q + \sum_{k=1}^{i-1} p_k)^2 - m_i^2 \right)$, Значения которых хорошо известны

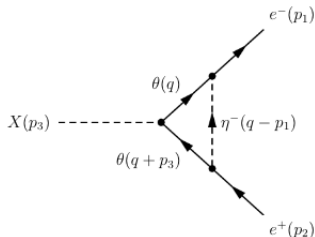
Пузырьковая диаграмма



Функции A_0 , B_0 , C_0 квадратично зависят от своих аргументов. Таким образом петлевой вклад в $(X \rightarrow e^+ e^-)$ и $(X \rightarrow e^+ e^- \gamma)$ оказывается одинаковым \Rightarrow уменьшить выход γ можно только уменьшая вероятность самого распада $X \rightarrow e^+ e^-$.

$$\begin{aligned} \hat{O} &= \int \frac{d^D q}{(2\pi)^D} \frac{\text{Tr}((a + ib\gamma^5)(\hat{q} + m)(c + id\gamma^5)(\hat{q} + \hat{p}_1 + m))}{(q^2 - m^2)((q + p_1)^2 - m^2)} = \\ &= \int \frac{d^D q}{(2\pi)^D} \frac{4m^2(ac - bd)}{(q^2 - m^2)((q + p_1)^2 - m^2)} + \int \frac{d^D q}{(2\pi)^D} \frac{4(q^2 - p_1 \cdot q)(ac + bd)}{(q^2 - m^2)((q + p_1)^2 - m^2)} = \\ &= 4m^2(ac - bd)B_0(p_1, m, m) + 4(ac + bd)\left(A_0(m) + m^2 B_0(p_1, m, m) - \frac{p_1^2}{2} B_0(p_1, m, m)\right) \end{aligned}$$

Треугольная диаграмма (двухчастичный распад)



$$i \mathcal{M} = \bar{u} \left[(c + id\gamma^5) \int \frac{d^D q}{(2\pi)^D} \frac{i(\hat{q} + m_1)(a + ib\gamma^5)i(\hat{q} - \hat{p}_1 - \hat{p}_2 + m_3)(-i)}{(q^2 - m_1^2)((q - p_1)^2 - m_2^2)((q - p_1 - p_2)^2 - m_3^2)} (c + id\gamma^5) \right] v =$$

$$= i \bar{u}(p_1) \left[\int \frac{d^D q}{(2\pi)^D} \frac{\hat{f}_1(q) - i\hat{f}_2(q)\gamma^5}{d_1 d_2 d_3} \right] v(p_2) \quad ; \quad d_i \equiv (q - \sum_{k=1}^{i-1} p_k)^2 - m_i^2$$

$$\hat{f}_1(q) = a(c^2 + d^2) \left(m_1(\hat{q} - \hat{p}_1 - \hat{p}_2) + m_3 \hat{q} \right) + a(c^2 - d^2) \left(\hat{q}(\hat{q} - \hat{p}_1 - \hat{p}_2) + m_1 m_3 \right) +$$

$$+ 2bcd \left(\hat{q}(\hat{q} - \hat{p}_1 - \hat{p}_2) - m_1 m_3 \right)$$

$$\hat{f}_2(q) = b(c^2 + d^2) \left(m_1(\hat{q} - \hat{p}_1 - \hat{p}_2) - m_3 \hat{q} \right) + b(c^2 - d^2) \left(\hat{q}(\hat{q} - \hat{p}_1 - \hat{p}_2) - m_1 m_3 \right) -$$

$$- 2acd \left(\hat{q}(\hat{q} - \hat{p}_1 - \hat{p}_2) + m_1 m_3 \right)$$

Сопутствующие вычисления ($X \rightarrow e^+ e^-$)

Необходимо проинтегрировать следующие вершинные факторы:

$$\hat{f}_{\pm}(q) = H_{(\pm)}(c^2 + d^2) \left(m_1(\hat{q} - \hat{p}_1 - \hat{p}_2) \pm m_3 \hat{q} \right) + H_{(\pm)}(c^2 - d^2) \left(\hat{q}(\hat{q} - \hat{p}_1 - \hat{p}_2) \pm m_1 m_3 \right) \pm 2 H_{(\mp)} cd \left(\hat{q}(\hat{q} - \hat{p}_1 - \hat{p}_2) \mp m_1 m_3 \right) \quad \text{где} \quad \{H_{(+)}, H_{(-)}\} \equiv \{a, b\}$$

Определим следующий векторный интеграл

$$C^\mu(p_1, p_2; m_1, m_2, m_3) = \int \frac{d^D q}{(2\pi)^D} \frac{q^\mu}{(q^2 - m_1^2)((q + p_1)^2 - m_2^2)((q + p_1 + p_2)^2 - m_3^2)}$$

Из соображений лоренц-инвариантности данного интеграла

$$C^\mu(p_1, p_2; m_1, m_2, m_3) = p_1^\mu C_1(p_1, p_2; m_1, m_2, m_3) + p_2^\mu C_2(p_1, p_2; m_1, m_2, m_3) \\ \Rightarrow \int \frac{d^D q}{(2\pi)^D} \frac{\hat{q}}{d_1 d_2 d_3} = \gamma_\mu C^\mu = -\hat{p}_1 C_1 - \hat{p}_2 C_2 \quad \Rightarrow \quad \bar{u}(p_1) \gamma_\mu C^\mu v(p_2) = 0$$

Таким образом первое слагаемое вершинных факторов не вносит вклада в двухчастичный распад

Таким образом остается проинтегрировать величину

$$\hat{f}_{\pm}(q) = H_{(\pm)}(c^2 - d^2) \left(\hat{q}(\hat{q} - \hat{p}_1 - \hat{p}_2) \pm m_1 m_3 \right) \pm 2 H_{(\mp)} c d \left(\hat{q}(\hat{q} - \hat{p}_1 - \hat{p}_2) \mp m_1 m_3 \right)$$

$$1) \int \frac{d^D q}{(2\pi)^D} \frac{\hat{q}\hat{q} \equiv q^2}{d_1 d_2 d_3} = \int \frac{d^D q}{(2\pi)^D} \frac{q^2}{d_1 d_2 d_3} = d_1 C_0(p_1, p_2; m_1, m_2, m_3) +$$

$$+ m_1^2 C_0(p_1, p_2; m_1, m_2, m_3) = B_0(p_2; m_2, m_3) + m_1^2 C_0(p_1, p_2; m_1, m_2, m_3)$$

$$\left(d_1 C_0(p_1, p_2; m_1, m_2, m_3) = \int \frac{d^D q}{(2\pi)^D} \frac{1}{d_2 d_3} \overset{q \rightarrow q+p_1}{=} B_0(p_2; m_2, m_3) \right)$$

$$2) \bar{u}(p_1) \int \frac{d^D q}{(2\pi)^D} \frac{\hat{q}(\hat{q} - \hat{p}_1 - \cancel{\hat{p}_2})}{d_1 d_2 d_3} v(p_2) = \cancel{p_{1,2}^2 = 0} = \bar{u}(p_1) \left(B_0(p_2; m_2, m_3) + \right.$$

$$\left. + m_1^2 C_0(p_1, p_2; m_1, m_2, m_3) + 2(p_1 \cdot p_2) C_2(p_1, p_2; m_1, m_2, m_3) \right) v(p_2) =$$

$$= \bar{u}(p_1) \left(B_0(p_1 + p_2; m_1, m_3) + m_2^2 C_0(p_1, p_2; m_1, m_2, m_3) \right) v(p_2)$$

$$3) C_2 = \frac{1}{2(p_1 \cdot p_2)} \left((m_2^2 - m_1^2 - \cancel{p_1^2}) C_0 + B_0(p_1 + p_2; m_1, m_3) - B_0(p_2; m_2, m_3) \right)$$

$$\Rightarrow F_{\pm} = H_{(\pm)}(c^2 - d^2) \left(B_0(\sqrt{s}; m_1, m_3) + (m_2^2 \pm m_1 m_3) C_0(p_1, p_2; m_1, m_2, m_3) \right) \pm$$

$$\pm 2 H_{(\mp)} \left(B_0(\sqrt{s}; m_1, m_3) + (m_2^2 \mp m_1 m_3) C_0(p_1, p_2; m_1, m_2, m_3) \right)$$

$$\Rightarrow i \mathcal{M} = i\bar{u}(p_1) \left(F_1(\sqrt{s}) - iF_2(\sqrt{s})\gamma^5 \right) v(p_2) \quad C_0(p_1, p_2; m_1, m_2, m_3) \sim F(s)$$

Использование петлевых вершин приводит к сложной зависимости вероятности распада от энергии распада. Соответствующие вершинные факторы имеют вид:

$$F_1(\sqrt{s}) = a(c^2 - d^2) \left(B_0(\sqrt{s}; m_1, m_3) + (m_2^2 + m_1 m_3) C_0(p_1, p_2; m_1, m_2, m_3) \right) + 2bcd \left(B_0(\sqrt{s}; m_1, m_3) + (m_2^2 - m_1 m_3) C_0(p_1, p_2; m_1, m_2, m_3) \right)$$

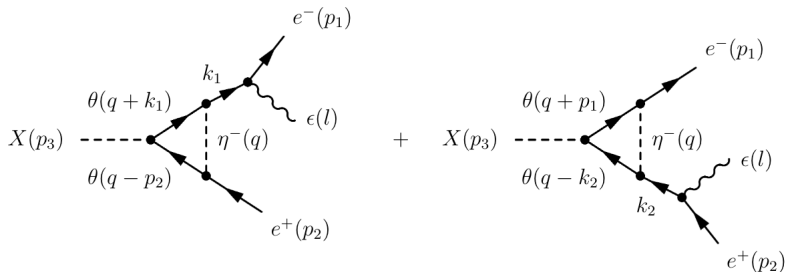
$$F_2(\sqrt{s}) = b(c^2 - d^2) \left(B_0(\sqrt{s}; m_1, m_3) + (m_2^2 - m_1 m_3) C_0(p_1, p_2; m_1, m_2, m_3) \right) - 2acd \left(B_0(\sqrt{s}; m_1, m_3) + (m_2^2 + m_1 m_3) C_0(p_1, p_2; m_1, m_2, m_3) \right)$$

Квадрат амплитуды усредненный по поляризациям конечных частиц оказывается равным:

$$\frac{1}{4} \sum_{\lambda} \mathcal{M} \mathcal{M}^* = \frac{m_X^2}{2} \left(F_1(\sqrt{s})^2 + F_2(\sqrt{s})^2 \right)$$

$$\frac{1}{4} \sum_{\lambda} \mathcal{M} \mathcal{M}^* = (c^2 + d^2)^2 m_X^2 \frac{a^2 \left(B_0 + (m_2^2 + m_1 m_3) C_0 \right)^2 + b^2 \left(B_0 + (m_2^2 - m_1 m_3) C_0 \right)^2}{2}$$

Треугольная диаграмма (трехчастичный распад)



$$\begin{aligned}
 i \mathcal{M} = & i \bar{u}(p_1) \left[\gamma^\mu \frac{\hat{p}_1 + \hat{l}}{(p_1 + l)^2} \right] \left[\int \frac{d^D q}{(2\pi)^D} \frac{\hat{f}_{11}(q) - i\hat{f}_{12}(q)\gamma^5}{b_1 b_2 b_3} \right] v(p_2) + \\
 & + i \bar{u}(p_1) \left[\int \frac{d^D q}{(2\pi)^D} \frac{\hat{f}_{21}(q) - i\hat{f}_{22}(q)\gamma^5}{b_1 b_2 b_3} \right] \left[\frac{\hat{p}_2 + \hat{l}}{(p_2 + l)^2} \gamma^\mu \right] v(p_2),
 \end{aligned}$$

$$\begin{aligned}
 \int \frac{d^4 q}{(2\pi)^4} \frac{\hat{f}_{11}}{b_1 b_2 b_3} &= a(c^2 + d^2) \left(\hat{p}_1(m_1 + m_3) C_1(k_1, p_2) + \hat{k}_1 m_3 C_0(k_1, p_2) \right) + \\
 &+ a(c^2 - d^2) \left(B_0(\sqrt{s}) + (m_2^2 + m_1 m_3) C_0(k_1, p_2) + 2(p_1 \cdot l) C_1(k_1, p_2) \right) \hat{1} + \\
 &+ 2bcd \left(B_0(\sqrt{s}) + (m_2^2 - m_1 m_3) C_0(k_1, p_2) + 2(p_1 \cdot l) C_1(k_1, p_2) \right) \hat{1}, \\
 \int \frac{d^4 q}{(2\pi)^4} \frac{\hat{f}_{12}}{b_1 b_2 b_3} &= a(c^2 + d^2) \left(\hat{p}_1(m_1 + m_3) C_1(k_1, p_2) + \hat{k}_1 m_3 C_0(k_1, p_2) \right) + \\
 &+ a(c^2 - d^2) \left(B_0(\sqrt{s}) + (m_2^2 - m_1 m_3) C_0(k_1, p_2) + 2(p_1 \cdot l) C_1(k_1, p_2) \right) \hat{1} + \\
 &+ 2bcd \left(B_0(\sqrt{s}) + (m_2^2 + m_1 m_3) C_0(k_1, p_2) + 2(p_1 \cdot l) C_1(k_1, p_2) \right) \hat{1}, \\
 \int \frac{d^4 q}{(2\pi)^4} \frac{\hat{f}_{21}}{b_1 b_2 b_3} &= a(c^2 + d^2) \left(\hat{p}_2(m_1 + m_3) C_2(p_1, k_2) - \hat{k}_2 m_1 C_0(p_1, k_2) \right) + \\
 &+ a(c^2 - d^2) \left(B_0(\sqrt{s}) + (m_2^2 + m_1 m_3) C_0(p_1, k_2) + 2(p_2 \cdot l) C_2(p_1, k_2) \right) \hat{1} + \\
 &+ 2bcd \left(B_0(\sqrt{s}) + (m_2^2 - m_1 m_3) C_0(p_1, k_2) + 2(p_2 \cdot l) C_2(p_1, k_2) \right) \hat{1}, \\
 \int \frac{d^4 q}{(2\pi)^4} \frac{\hat{f}_{22}}{b_1 b_2 b_3} &= a(c^2 + d^2) \left(\hat{p}_2(m_1 + m_3) C_2(p_1, k_2) - \hat{k}_2 m_1 C_0(p_1, k_2) \right) + \\
 &+ a(c^2 - d^2) \left(B_0(\sqrt{s}) + (m_2^2 - m_1 m_3) C_0(p_1, k_2) + 2(p_2 \cdot l) C_2(p_1, k_2) \right) \hat{1} + \\
 &+ 2bcd \left(B_0(\sqrt{s}) + (m_2^2 + m_1 m_3) C_0(p_1, k_2) + 2(p_2 \cdot l) C_2(p_1, k_2) \right) \hat{1},
 \end{aligned}$$

Был найден аналитический вид квадрата матричного элемента трехчастичного распада.

$$\frac{1}{4} \sum_{\lambda} \mathcal{M} \mathcal{M}^* = (c^2 + d^2)^2 \left(|M_1|^2 - M_1 M_2^* - M_2 M_1^* + |M_2|^2 \right),$$

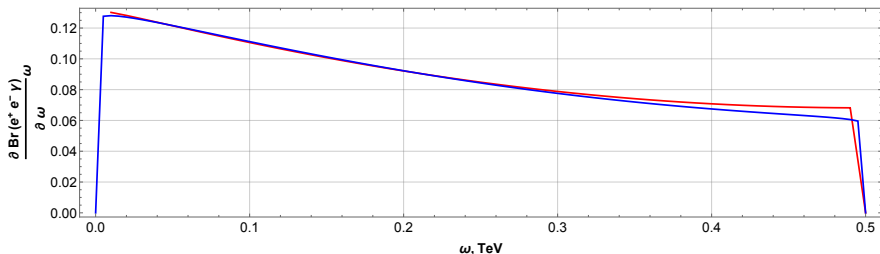
$$|M_1|^2 = a^2 \frac{|X_1^+|^2 + 2m_1^2 (l \cdot p_1)^2 (p_1 \cdot p_2) |Y_1|^2}{(p_1 + l)^4} + b^2 \frac{|X_1^-|^2 + 2m_1^2 (l \cdot p_1)^2 (p_1 \cdot p_2) |C_0(k_1, p_2)|^2}{(p_1 + l)^4},$$

$$|M_2|^2 = a^2 \frac{|X_2^+|^2 + 2m_1^2 (l \cdot p_2)^2 (p_1 \cdot p_2) |Y_2|^2}{(p_2 + l)^4} + b^2 \frac{|X_2^-|^2 + 2m_1^2 (l \cdot p_2)^2 (p_1 \cdot p_2) |C_0(p_1, k_2)|^2}{(p_2 + l)^4},$$

$$\begin{aligned} M_1 M_2^* &= a^2 \frac{2m_1^2 (p_1 \cdot p_2) (l \cdot p_1) (l \cdot p_2) \left(Y_1 Y_2^* + Y_2 Y_1^* - 4C_1 C_2^* - 4C_2 C_1^* \right)}{(p_1 + l)^2 (p_2 + l)^2} - \\ &- a^2 \frac{\left((p_1 \cdot p_2)^2 + (l \cdot p_1) (l \cdot p_2) + (p_1 \cdot p_2) (l \cdot (p_1 + p_2)) \right) (X_1^+ X_2^{+*} + X_2^+ X_1^{+*})}{(p_1 + l)^2 (p_2 + l)^2} + \\ &+ b^2 \frac{2m_1^2 (p_1 \cdot p_2) (l \cdot p_1) (l \cdot p_2) \left(C_0(k_1, p_2) C_0(p_1, k_2)^* + C_0(p_1, k_2) C_0(k_1, p_2)^* \right)}{(p_1 + l)^2 (p_2 + l)^2} - \\ &- b^2 \frac{\left((p_1 \cdot p_2)^2 + (l \cdot p_1) (l \cdot p_2) + (p_1 \cdot p_2) (l \cdot (p_1 + p_2)) \right) (X_1^- X_2^{-*} + X_2^- X_1^{-*})}{(p_1 + l)^2 (p_2 + l)^2}, \end{aligned}$$

$$\begin{aligned}
 X_1^\pm &= 2(l \cdot p_1) C_1 + B_0(\sqrt{s}) + C_0(k_1, p_2)(m_2^2 \pm m_1^2), \\
 X_2^\pm &= 2(l \cdot p_2) C_2 + B_0(\sqrt{s}) + C_0(p_1, k_2)(m_2^2 \pm m_1^2), \\
 Y_1 &= 2C_1 + C_0(k_1, p_2) & Y_2 &= 2C_2 + C_0(p_1, k_2), \\
 C_1 &= C_1(k_1, p_2) & C_2 &= C_2(p_1, k_2).
 \end{aligned}$$

Интегрирование по фазовому объему выполнялось численно при помощи программной среды Wolfram Mathematica. Для вычисления функций Пассарино-Вельтмана использовался пакет PackageX для Wolfram Mathematica.



Полученные результаты

В поисках модели подавления выхода γ была проделана большая работа, результаты которой на данный момент следующие:

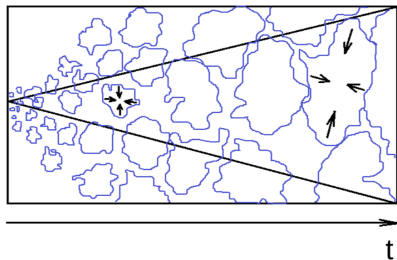
| Модель | Результат |
|---|-----------|
| $X^0 \rightarrow e^+ e^-, X^0 \rightarrow e^+ e^- \gamma$ | — |
| $X_\mu^0 \rightarrow e^+ e^-, X_\mu^0 \rightarrow e^+ e^- \gamma$ | — |
| $X^{2+} \rightarrow e^+ e^+, X^{2+} \rightarrow e^+ e^+ \gamma$ | — / + |
| $X_\mu^{2+} \rightarrow e^+ e^+, X_\mu^{2+} \rightarrow e^+ e^+ \gamma$ | — / + |
| Сравнение $X_\mu \rightarrow e^+ e^-(\gamma)$ и $X \rightarrow e^+ e^-(\gamma)$ | — / + |
| Линейная по \hat{p} вершина $a + b\hat{p}/m$ | — |
| "Пузырьковая" петля | — |
| Треугольная петля | — |

Часть 2

Постановка ограничений на
параметры моделей SIMP

Ограничение на сечение рассеяния SIMP

Крупномасштабная структура Вселенной сильно зависит от момента отцепления скрытой массы, взаимодействующей с барионным веществом от окружающей релятивистской плазмы.

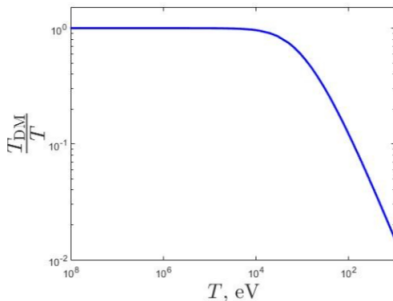


Анализ основан на работах [arXiv:astro-ph/0607319](https://arxiv.org/abs/astro-ph/0607319) и [arXiv:astro-ph/0504112](https://arxiv.org/abs/astro-ph/0504112). Для определения минимальной температуры отцепления требуется чтобы неоднородности размера карликовых галактик ($\sim 10^8 M_{\odot}$) сохранились.

Из результатов работы [arXiv:1506.03094](https://arxiv.org/abs/1506.03094) Масса неоднородностей темной материи, оказавшихся под горизонтом в момент отцепления оценивается как $0.1M_{\odot} \left(\frac{T}{1\text{MeV}}\right)^3$. Тогда ограничение на температуру отцепления имеет вид: $T_{\text{dec}} > 1 \div 5\text{keV}$.

$$\frac{dT_s}{dT} = -\frac{2}{3T} \left(\frac{1}{H} \langle \overline{\Delta E \sigma v} \rangle_{\text{sp}} n_p - 3T_s \right),$$

Температурная эволюция SIMP компоненты скрытой массы:



Зная ограничения на температуру отцепления - можно получить ограничение на сечение взаимодействия, представленное в уравнении. В работе [arXiv:1909.04735](https://arxiv.org/abs/1909.04735) было получено такое ограничение. Приближенную его оценку можно получить из

$$\langle \overline{\Delta E \sigma v} \rangle_{\text{sp}} = \frac{8\sqrt{2}}{\sqrt{\pi}} \frac{m_s m_p}{(m_s + m_p)^2} \sigma_{\text{sp}} \sqrt{\frac{T_s}{m_s} + \frac{T_p}{m_p}} \cdot (T_p - T_s),$$

В момент отцепления $(T_p - T_s) \sim T_p = T$ и при $m_s \gg m_p$ можно получить приблизительную оценку:

$$T_{\text{dec}} \sim \left(\frac{m_s}{\eta_B m_{\text{Pl}} m_p^{1/2} \sigma_{\text{sp}}} \right)^{2/3}.$$

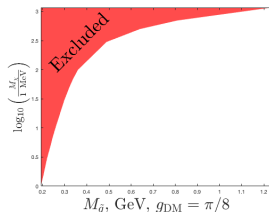
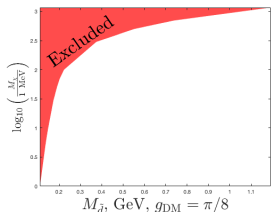
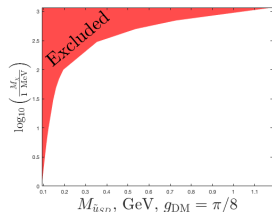
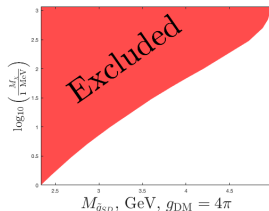
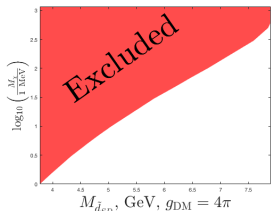
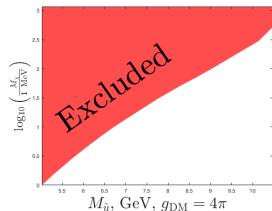
Отсюда можно оценить ограничение на сечение взаимодействия

$$\sigma_{\text{sp}} < \frac{m_s}{\eta_B m_{\text{Pl}} m_p^{1/2} T_{\text{HDM}}^{3/2}} \sim 10^{-29} \text{cm}^2 \frac{m_s}{\text{GeV}} \left(\frac{5 \text{keV}}{T_{\text{HDM}}} \right)^{3/2},$$

Ограничения на параметры моделей SIMP

В модели Anthony DiFranzo и Keiko I. Nagao ([arXiv:1308.2679](https://arxiv.org/abs/1308.2679))

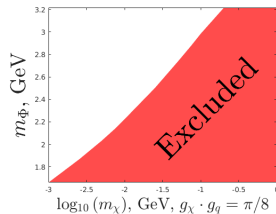
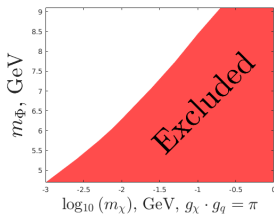
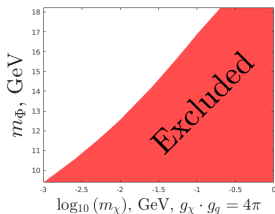
$$\mathcal{L} = i\bar{\chi}\hat{\partial}\chi - M_\chi\bar{\chi}\chi + (D_\mu\tilde{u})^*(D^\mu\tilde{u}) - M_{\tilde{u}}^2\tilde{u}^*\tilde{u} + (g_{DM}\tilde{u}^*\bar{\chi}P_Ru + h.c.),$$



В работе N. Daci, I. De Bruyn ([arXiv:1503.05505](https://arxiv.org/abs/1503.05505)). сечение упругого рассеяния $\chi q \rightarrow \chi q$ имеет вид:

$$\sigma_{\chi N} \approx \frac{g_\chi^2 g_q^2}{\pi m_\phi^4} \mu_{\chi N}^2 f_N^2, \quad (1)$$

Аналогично, были получены ограничения на параметры данной модели (m_χ, m_ϕ) , которые приведены на рисунке ниже:



Заклучение

- В рамках задачи подавления выхода фотонов при распадах частиц скрытой массы были разработаны и исследованы 7 различных моделей взаимодействия.

Было показано, что в рамках рассматриваемого класса моделей существенного подавления производства фотонов добиться не получается. Однако имеет место частичное подавление, которого не достаточно для решения противоречия с избытком фотонов в задаче объяснения спектра позитронной аномалии.

- Во второй части работы на примере двух частных моделей был продемонстрирован метод постановки косвенных космологических ограничений на параметры частных моделей SIMP, основанный на наблюдательных данных о крупномасштабной структуре вселенной. Были исключены запрещенные области масс частиц и масс переносчиков в этих моделях для различных констант взаимодействия.

Спасибо за внимание

Сопутствующие вычисления ("Пузарьковская" диаграмма)

$$\int \frac{d^D q}{(2\pi)^D} \frac{4(q^2 - p_1 \cdot q)(ac + bd)}{(q^2 - m^2)((q + p_1)^2 - m^2)} = ?$$

$$1) \int \frac{d^D q}{(2\pi)^D} \frac{1}{(q + p)^2 - m^2} \xrightarrow{q \rightarrow q-p} \int \frac{d^D q}{(2\pi)^D} \frac{1}{(q^2 - m^2)} = A_0(m)$$

$$2) \int \frac{d^D q}{(2\pi)^D} \frac{q^2}{(q^2 - m_1^2)((q + p_1)^2 - m_2^2)} = \int \frac{d^D q}{(2\pi)^D} \frac{\cancel{(q^2 - m_1^2)}}{\cancel{(q^2 - m_1^2)}((q + p_1)^2 - m_2^2)} + m_1^2 B_0(p_1, m_1, m_2) = A_0(m_2) + m_1^2 B_0(p_1, m_1, m_2)$$

$$3) \int \frac{d^D q}{(2\pi)^D} \frac{p_1 \cdot q}{(q^2 - m_1^2)((q + p_1)^2 - m_2^2)} = \int \frac{d^D q}{(2\pi)^D} \frac{\cancel{q^2 + 2p_1 \cdot q + p_1^2 - m_2^2}}{\cancel{(q^2 - m_1^2)}\cancel{((q + p_1)^2 - m_2^2)}} - \int \frac{d^D q}{(2\pi)^D} \frac{p_1 \cdot q}{(q^2 - m_1^2)((q + p_1)^2 - m_2^2)} - \int \frac{d^D q}{(2\pi)^D} \frac{q^2 + p_1^2 - m_2^2}{(q^2 - m_1^2)((q + p_1)^2 - m_2^2)} =$$

$$= A_0(m_1) - A_0(m_2) - m_1^2 B_0(p_1, m_1, m_2) - p_1^2 B_0(p_1, m_1, m_2) + m_2^2 B_0(p_1, m_1, m_2) -$$

$$- \int \frac{d^D q}{(2\pi)^D} \frac{p_1 \cdot q}{(q^2 - m_1^2)((q + p_1)^2 - m_2^2)} \Rightarrow \int \frac{d^D q}{(2\pi)^D} \frac{p_1 \cdot q}{(q^2 - m_1^2)((q + p_1)^2 - m_2^2)} =$$

$$= \frac{1}{2} A_0(m_1) - \frac{1}{2} A_0(m_2) + \left(\frac{m_2^2}{2} - \frac{m_1^2}{2} - \frac{p_1^2}{2} \right) B_0(p_1, m_1, m_2)$$